# Filtrado Basado en Contenido

**IIC 3633 - Sistemas Recomendadores** 

Denis Parra, Ivania Donoso Profesor Asistente, DCC, PUC CHile

### TOC

### En esta clase

- 1. Contenido en lugar de ratings
- 2. Representación de Espacio Vectorial
- 3. TF-IDF
- 4. Buscando Items Similares
- 5. Representación en Espacio Latente

## Por Qué un Recomendador Basado en Contenido

• El filtrado colaborativo tiene algunas desventajas: cold-start, new-item problem, sparcity, transparency.

#### **PROS**

- · A diferencia del Filtrado Colaborativo, si los items tienes descripciones suficientes, nos evitamos el "new-item problem""
- · Las representaciones del contenido son variadas y permiten utilizar diversas técnicas de procesamiento del texto, uso de información semántica, inferencias, etc.
- Es sencillo hacer un sistema más transparente: usamos el mismo contenido para explicar las recomendaciones.

#### CONS

- · Tienden a la sobre-especialización: va a recomendar items similares a los ya consumidos, creando una tendencia al "filter bubble".
- · Los métodos basados en filtrado colaborativo han mostrado ser, empíricamente, más precisos al momento de generar recomendaciones.

# Arquitectura de un Sistema de Recomendación CB

· Los componentes principales son: (1) Analizador del Contenido, (2) Aprendizaje del Perfil de Usuario, (3) Filtrado de Contenido

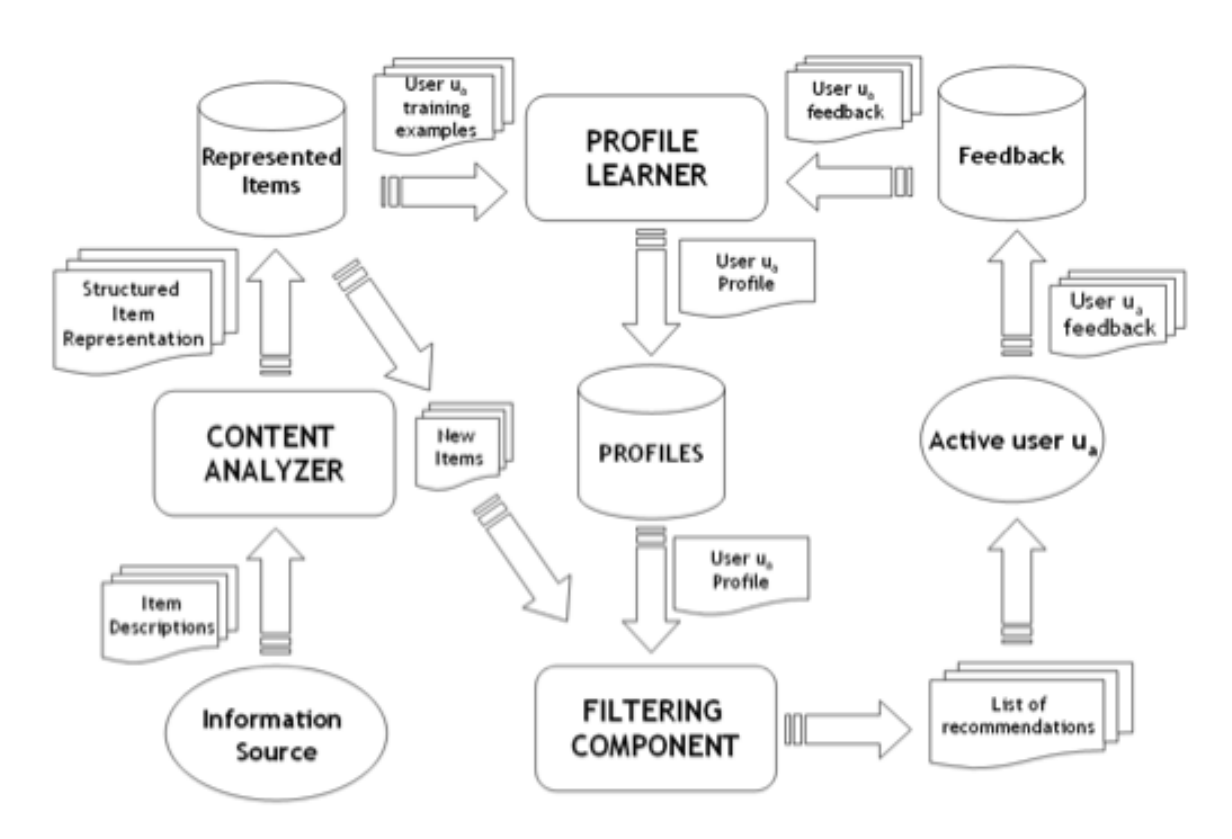
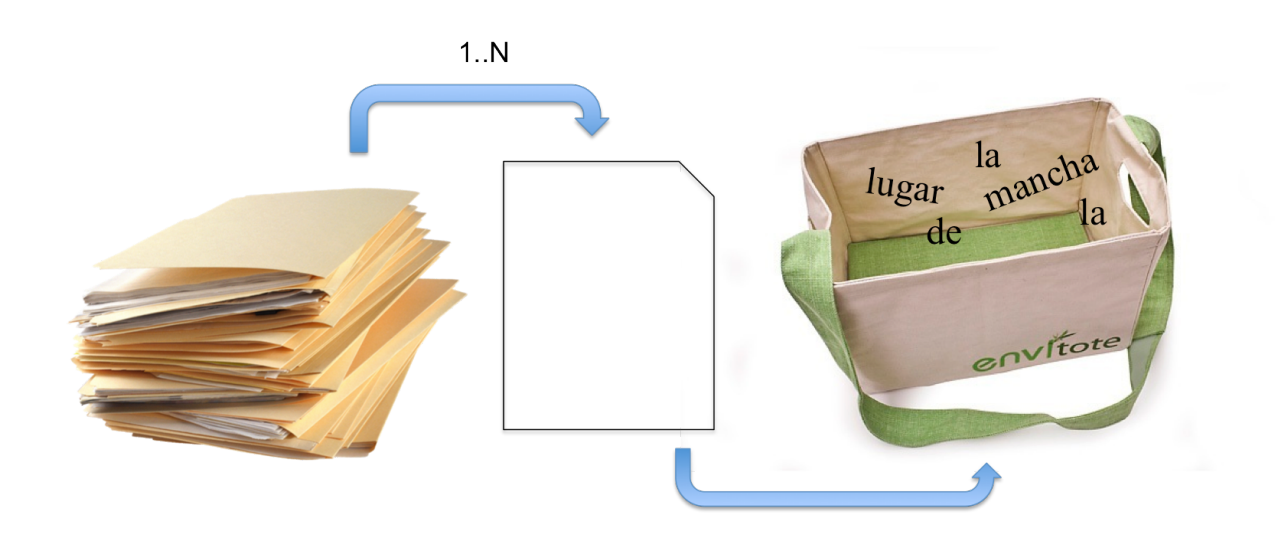


Fig. 3.1: High level architecture of a Content-based Recommender

# Representación del Contenido: Bolsa de Palabras

· Se suele representar a los documentos como "bolsas de palabras"; de esta forma es fácil pasar a representar cada documento como un vector (Vector Space Model)



# Representación del Contenido: VSM

· El corpus completo puede entonces representarse como una matriz donde las filas son términos y las columnas son documentos.

	Anthony and Cleopatra	Julius Caesar	The Tempest	Hamlet	Othello	Macbeth 
ANTHONY	1	1	0	0	0	1
BRUTUS	1	1	0	1	0	0
CAESAR	1	1	0	1	1	1
CALPURNIA	0	1	0	0	0	0
CLEOPATRA	1	0	0	0	0	0
MERCY	1	0	1	1	1	1
WORSER	1	0	1	1	1	0

· Luego, ¿Cúal es la mejor forma de representar los pesos de los términos?

# Representación del Contenido: VSM II

#### Frecuencia de los términos

Cada documento se representa como un vector, el "peso" de cada palabra para ese documento

$$\mathrm{TF}(t_k,d_j) = \frac{f_{k,j}}{\max_z f_{z,j}}$$

puede darse en base a la frecuencia del término en el documento.

	Anthony and Cleopatra	Julius Caesar	The Tempest	Hamlet	Othello	Macbeth
ANTHONY	157	73	0	0	0	1
BRUTUS		157	0	2	0	0
	4		U	Z	U	U
CAESAR	232	227	0	2	1	0
CALPURNIA	0	10	0	0	0	0
CLEOPATRA	57	0	0	0	0	0
MERCY	2	0	3	8	5	8
WORSER	2	0	1	1	1	5

Podemos normalizar el valor en función de la frecuencia máxima de cualquier término en el documento.

# Representación del Contenido: VSM III

### Log de Frecuencia de los términos

Pero el hecho que un término x aparece 100 veces y otro término y sólo 10 veces, no hace a x 10 veces más relevantes; por lo tanto podemos usar un logaritmo.

La log-frecuencia del término t en d se define como

$$\mathbf{w}_{t,d} = \left\{ egin{array}{ll} 1 + \log_{10} \mathrm{tf}_{t,d} & \mathrm{if} \ \mathrm{tf}_{t,d} > 0 \\ 0 & \mathrm{otherwise} \end{array} 
ight.$$

•tf<sub>t,d</sub> 
$$\to$$
 w<sub>t,d</sub>:  $0 \to 0, 1 \to 1, 2 \to 1.3, 10 \to 2, 1000 \to 4, etc.$ 

# Representación del Contenido: VSM IV

#### TF-IDF

Bajo la intuición de que un término que aparece en sólo unos poco documentos podría ser descriptivo, podemos considerar la "Inverse Document Frequency" y combinarla con la "Term Frequency":

$$\text{TF-IDF}(t_k, d_j) = \underbrace{\text{TF}(t_k, d_j)}_{\text{TF}} \cdot \underbrace{log \frac{N}{n_k}}_{\text{IDF}}$$

Done  $t_k$  es el término k,  $d_j$  es el documento j.

### Resumen de Componentes del TF-IDF

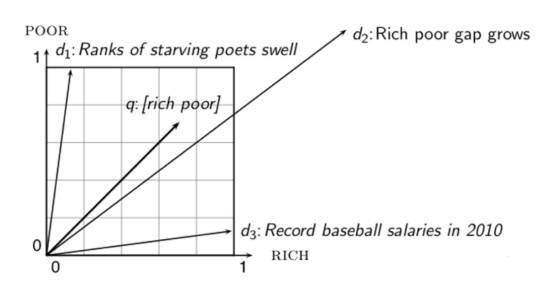
Term frequency		Docum	ent frequency	Normalization		
n (natural)	$tf_{t,d}$	n (no)	1	n (none)	1	
I (logarithm)	$1 + \log(tf_{t,d})$	t (idf)	$log \frac{N}{df_t}$	c (cosine)	$\frac{1}{\sqrt{w_1^2 + w_2^2 + + w_M^2}}$	
a (augmented)	$0.5 + \frac{0.5 \times tf_{t,d}}{max_t(tf_{t,d})}$	p (prob idf)	$\max\{0,\log \tfrac{N-\mathrm{df}_t}{\mathrm{df}_t}\}$	u (pivoted unique)	1/u	
b (boolean)	$\begin{cases} 1 & \text{if } \text{tf}_{t,d} > 0 \\ 0 & \text{otherwise} \end{cases}$			b (byte size)	$1/\mathit{CharLength}^{lpha}$ , $lpha < 1$	
L (log ave)	$\frac{1 + \log(\operatorname{tf}_{t,d})}{1 + \log(\operatorname{ave}_{t \in \sigma}(\operatorname{tf}_{t,d}))}$					

## Representación Semántica del Contenido

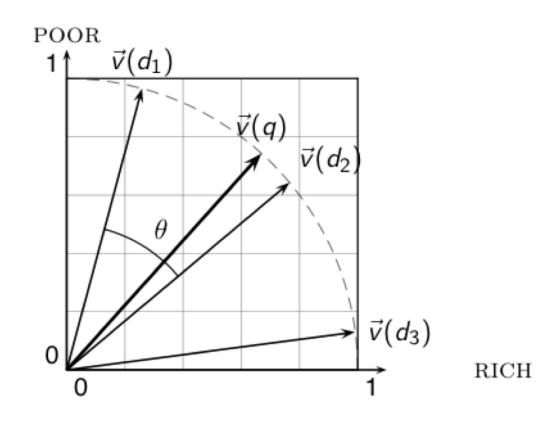
- · No todo el contenido del documento corresponde a la misma categoría.
- · Autor, palabras clave, fechas, tópicos pueden dar una noción adicional de filtrado.
- · Opción 1: Representación semántica explícita (No lo veremos en detalle en esta clase)
  - Ontologías
  - WordNet
  - ConceptNet
- · Opción 2: Inferir representación semántica (LSI, LDA)

## **Buscando Items Similares**

### Distancia Euclidiana

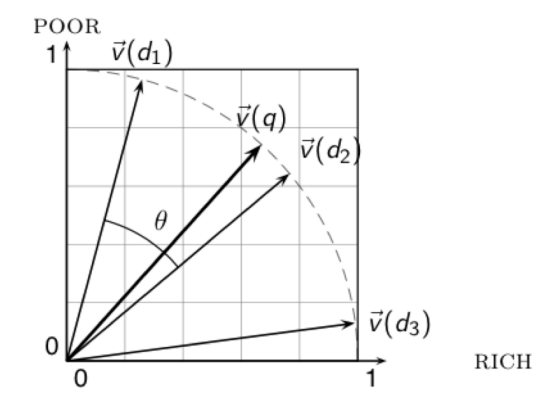


### Distancia Coseno



## **Buscando Items Similares**

#### Distancia Coseno



### Fórmula

$$sim(d_i, d_j) = \frac{\sum_k w_{ki} \cdot w_{kj}}{\sqrt{\sum_k w_{ki}^2} \cdot \sqrt{\sum_k w_{kj}^2}}$$

### **Buscando Items Similares II**

Okapi BM25

$$RSV_{d} = \sum_{t \in q} IDF \cdot \frac{(k_{1} + 1)tf_{td}}{k_{1}((1 - b) + b \times (L_{d} / L_{ave})) + tf_{td}} \cdot \frac{(k_{3} + 1)tf_{tq}}{k_{3} + tf_{tq}}$$

Ref: Denis Parra and Peter Brusilovsky. 2009. Collaborative filtering for social tagging systems: an experiment with CiteULike. In Proceedings of the third ACM conference on Recommender systems (RecSys '09) http://doi.acm.org/10.1145/1639714.1639757

### **Buscando Items Similares III**

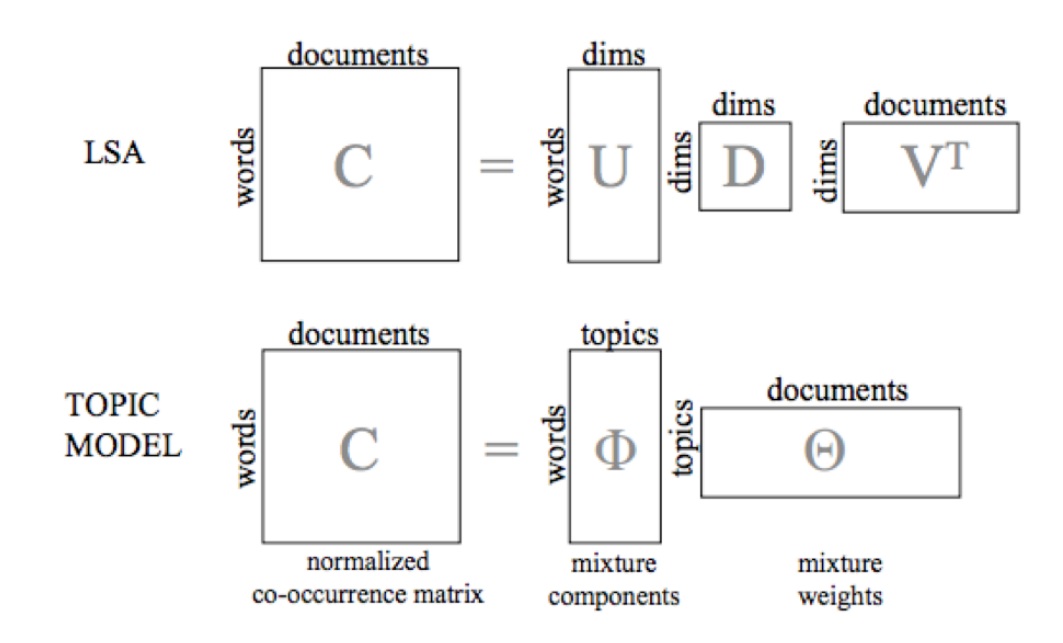
### Técnicas de Procesamiento adicionales

- · Pasar a mayúsculas/minúsculas
- Tokenization
- · Stemming (Porter, Krovetz)
- Lemmatization

### **Buscando Items Similares**

### Representación en espacio latente

- · Latent Semantic Indexing
- · Latent Dirichlet Allocation



### LSI I

$$\mathbf{X} = \mathbf{U} \times \mathbf{\Sigma} \times \mathbf{V}^{\mathbf{T}}$$

$$\begin{bmatrix} X \\ (\mathbf{d}_{j}) \\ \downarrow \\ \vdots & \ddots & \vdots \\ x_{m,1} & \dots & x_{m,n} \end{bmatrix} = (\hat{\mathbf{t}}_{i}^{T}) \rightarrow \begin{bmatrix} \mathbf{u}_{1} \\ \mathbf{u}_{1} \\ \vdots \\ x_{m,1} & \dots & x_{m,n} \end{bmatrix} \cdot \begin{bmatrix} \mathbf{v}_{1} \\ \vdots & \ddots & \vdots \\ 0 & \dots & \sigma_{l} \end{bmatrix} \cdot \begin{bmatrix} \mathbf{v}_{1} \\ \vdots \\ \mathbf{v}_{l} \end{bmatrix} \end{bmatrix}$$

### LSI II

	$d_1$	$d_2$	$d_3$	$d_4$	$d_5$	d <sub>6</sub>
ship	1	0	1	0	0	0
boat	0	1	0	0	0	0
ocean	1	1	0	0	0	0
voyage	1	0	0	1	1	0
trip	0	0	0	1	0	1

### LSI III

		1	2	3	4	5
	ship	-0.44	-0.30	0.57	0.58	0.25
Ш						
	boat	-0.13	-0.33	-0.59	0.00	0.73
	ocean	-0.48	-0.51	-0.37	0.00	-0.61
	voyage	-0.70	0.35	0.15	-0.58	0.16
	trip	-0.26	0.65	-0.41	0.58	-0.09

 2.16
 0.00
 0.00
 0.00
 0.00

 0.00
 1.59
 0.00
 0.00
 0.00

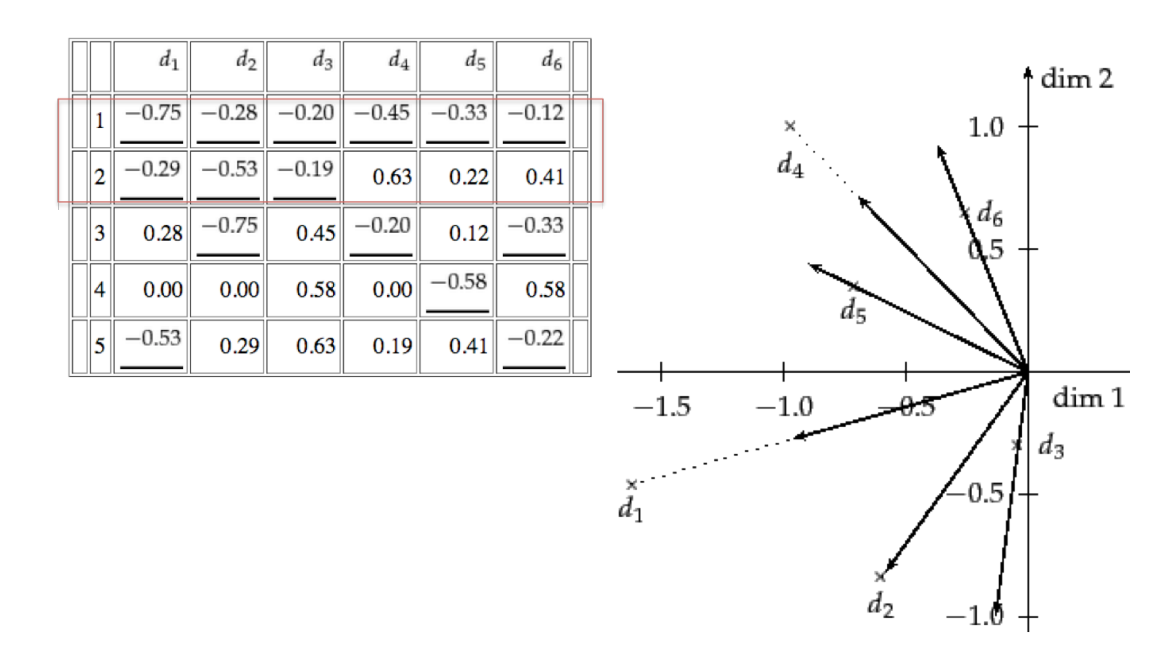
 0.00
 0.00
 1.28
 0.00
 0.00

 0.00
 0.00
 0.00
 1.00
 0.00

 0.00
 0.00
 0.00
 0.00
 0.39

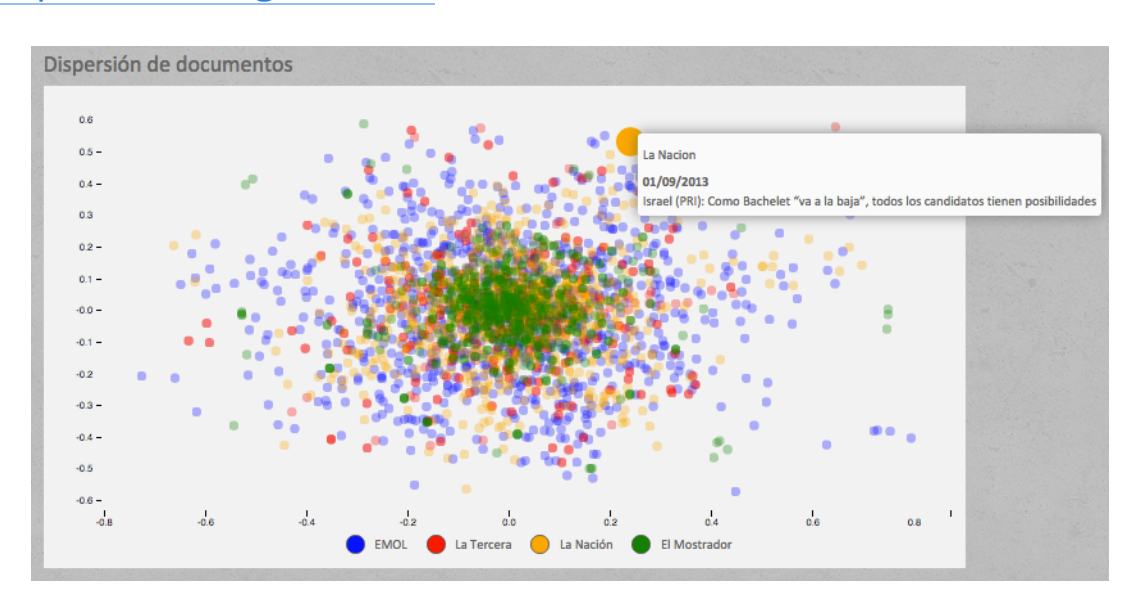
			$d_1$	$d_2$	$d_3$	$d_4$	$d_5$	d <sub>6</sub>
	1	1	-0.75	-0.28	-0.20	-0.45	-0.33	-0.12
ľ	1	2	-0.29	-0.53	-0.19	0.63	0.22	0.41
	3	3	0.28	-0.75	0.45	-0.20	0.12	-0.33
	4	4	0.00	0.00	0.58	0.00	-0.58	0.58
	4	5	-0.53	0.29	0.63	0.19	0.41	-0.22

### LSI IV



### LSI IV

Demo: http://dfao-uc.github.io/



### LDA I

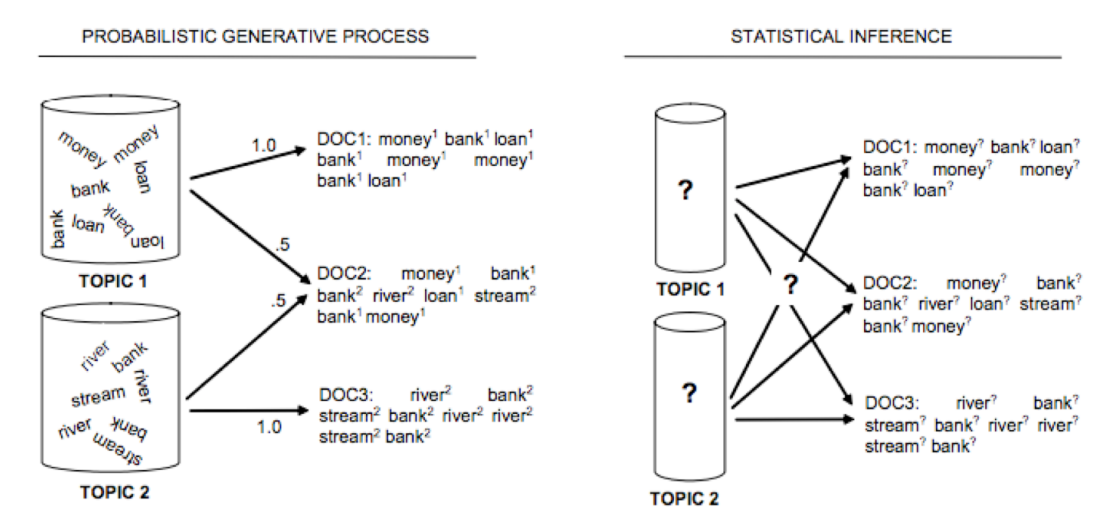
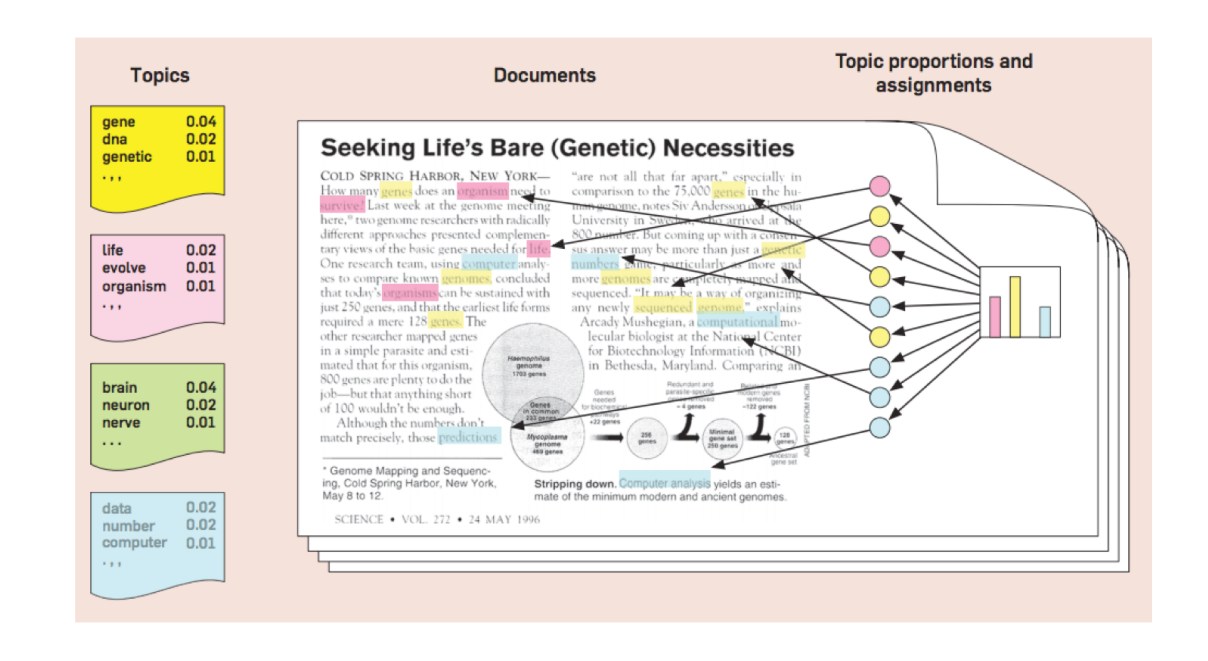


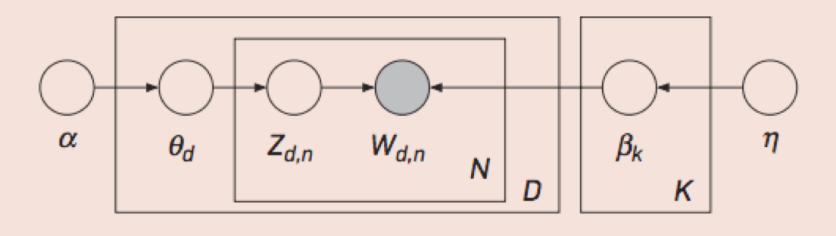
Figure 2. Illustration of the generative process and the problem of statistical inference underlying topic models

### LDA II

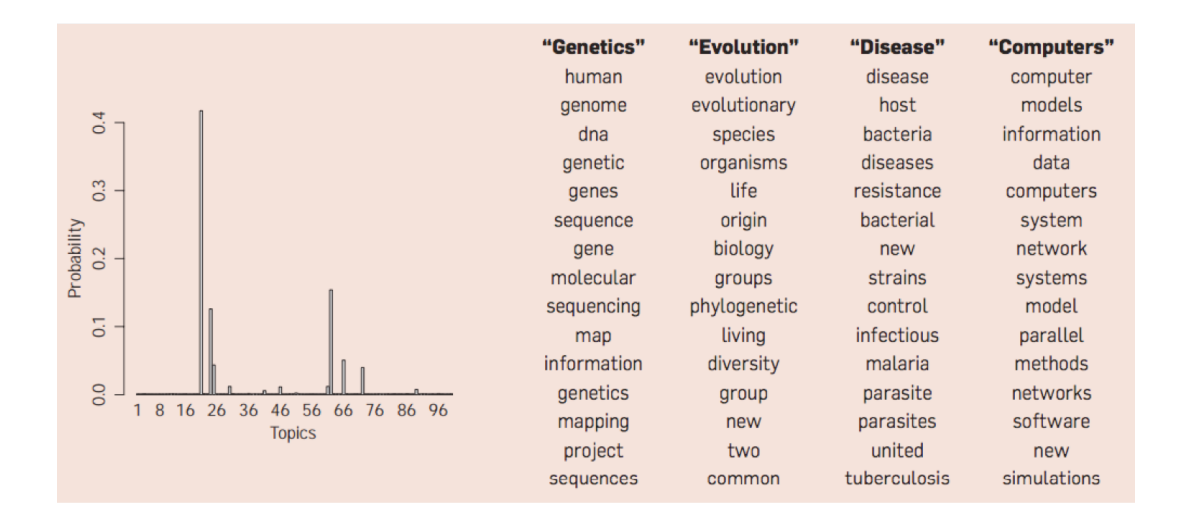


### LDA III

Figure 4. The graphical model for latent Dirichlet allocation. Each node is a random variable and is labeled according to its role in the generative process (see Figure 1). The hidden nodes—the topic proportions, assignments, and topics—are unshaded. The observed nodes—the words of the documents—are shaded. The rectangles are "plate" notation, which denotes replication. The N plate denotes the collection words within documents; the D plate denotes the collection of documents within the collection.



### LDA IV



### Referencias

- Manning, C. D., Raghavan, P., & Schütze, H. (2008). Introduction to information retrieval (Vol. 1, p. 6). Cambridge: Cambridge university press.
- Steyvers, M., & Griffiths, T. (2007). Probabilistic topic models. Handbook of latent semantic analysis, 427(7), 424-440.
- · Blei, D. M. (2012). Probabilistic topic models. Communications of the ACM, 55(4), 77-84.